

報 文
화학공학 제 10 권 제 6 호
J. KICHE, VOL. 10, NO. 6
Dec. 1972

Methyl ethyl Ketone-Alcohol系의 氣液平衡에 있어서 比揮發度와 液組成과의 關係

朴 元 圭* · 鄭 百 永* · 沈 弘 塞*

Correlation between Relative Volatility and Liquid Composition in
Vapor-Liquid Equilibrium of Methyl ethyl Ketone-Alcohol System

*Won-Kyu Park · *Baik-Yong Chung · *Hong-Seub Shim

Dept. of Chem. Eng., College of Eng., Yeung Nam Univ.

Abstract

Vapor-liquid equilibrium data for the binary systems of methanol-methyl ethyl ketone, ethanol-methyl ethyl ketone, methyl ethyl ketone-*n*-propanol and methyl ethyl ketone-*n*-butanol were investigated.

In these systems, vapor-liquid equilibrium data for methyl ethyl ketone-*n*-propanol and methyl ethyl ketone-*n*-butanol system were measured under atmospheric pressure.

In order to confirm the accuracy of experimental results, the x-y data obtained are thermodynamically analyzed with the Herington's consistency test, and checked with the relations of activity coefficients and Q-functions to the liquid phase compositions.

It was shown that the logarithmic value of relative volatility ($\log \alpha$) exhibited a linear function of the liquid composition (x) for systems.

And these linear relationships for each of four systems indicate a strong tendency falling into a single point, when each line is extended.

The present study proposed the empirical equations by which x-y data for each binary system of methyl ethyl ketone-alcohols can be estimated.

And the x-y data estimated by the proposed equations are compared with the experimental data, and proved to be in a good coincidence with them.

1. 緒 論

大氣壓下에서 Methyl ethyl ketone-Alcohol System의 2成分系의 氣液平衡에 있어서 比揮發度의 對數值와 液組成과의 關係가 2定數의 직선식으로 表示할 수 있음을 알았으며, 이들의 직선을 연장하면 한점에 모이는 경향이 있는 것을 實驗的으로 確認하고 Methyl ethyl ketone-Alcohol System에 있어서 x-y data를 推

算하기 爲한 實驗式을 求하였다. 그리고 이들의 推算式으로부터 求한 計算值와 實驗值를 比較하여 이를 推算式의 有用性을 立證하였다.

여기서 Methyl ethyl ketone—Alcohol System 중에서 Methyl ethyl ketone-*n*-Propanol System과 Methyl ethyl ketone-*n*-Butanol System의 平衡 data는 大氣壓下에서 直接 測定하였고, Methanol-Methyl ethyl ketone System¹⁾과 Ethanol-Methyl ethyl ketone System²⁾은 文獻值을 利用하였다. 그리고 이들의 平衡 data의 健全性을 熱力學的으로 檢討하기 爲해 Hering-

*嶺南大工大 化學工學科

ton의 Consistency Test³⁾, 活動度係數 및 Q 函數⁴⁾ 等과 液組成과의 關係를 檢討하였다.

2. 實驗

氣液平衡值의 測定에 使用한 裝置는 前報의⁵⁾⁶⁾⁷⁾ 같아 Smith-Bonner type을 使用하였고, 測定法도 같은

고 使用하였다. 여기서 密度測定은 Ostwald-Sprengel pycnometer를, 屈折率測定은 Abbe Refractometer를, 그리고 沸點測定은 Washburn裝置⁸⁾를 각각 使用하였다.

또 平衡 data의 分析方法은 gas chromatography에 依하여 分析하였으며 操作條件은 Table. 2와 같다.

Table 1. Physical Properties of Material used

| Materials | Density ρ_4^{20} | | Refractive Index n_4^{20} | | Boiling Point °C. | |
|------------|-----------------------|----------------|-----------------------------|----------------|-------------------|-----------------|
| | Experimental | Literature (9) | Experimental | Literature (9) | Experimental | Literature (10) |
| M. E. K | 0.8049 | 0.8047 | 1.3789 | 1.3785 | 79.5 | 79.6 |
| n-Propanol | 0.8031 | 0.8035 | 1.3852 | 1.3855 | 97.9 | 97.8 |
| n-Butanol | 0.8096 | 0.8098 | 1.3993 | 1.3992 | 116.8 | 117.0 |

方法으로 하였다.

實驗에 使用한 試藥은 一級試藥을 再蒸溜하고, 純度를 確認하기 為하여 密度, 屈折率 및 沸點을 測定하여 Table. 1에서와 같이 文獻值와 거의 一致됨을 確認하였다.

Table 2. Operation Conditions of Gas Chromatography

| | |
|-------------------------|--|
| Instrument | Perkin Elmer-900 B |
| Column | 0.4 mmφ×1.5 m st. st. tube |
| Packing material | P. E. G-1,500 |
| Detector | F. I. D. |
| Column oven temperature | 100°C (M. E. K-n-PrOH System) 120°C (M. E. K-n-BuOH System) |
| Manifold temperature | 150°C |
| Injector temperature | 200°C |
| Carrier gas flow rate | N ₂ 75 mL/min. |
| Chart speed | 10 mm/min. |

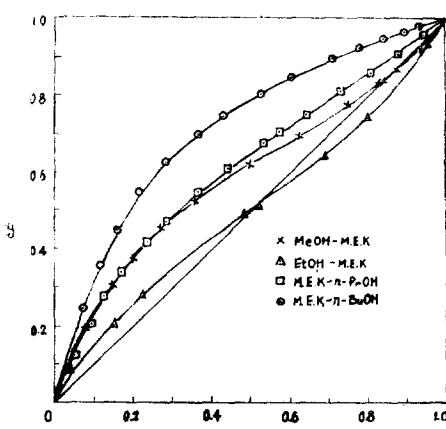


Fig. 1 Equilibrium Diagram for Methyl ethyl ketone-Alcohol Systems (1 atm.)

3. 實驗結果

Methanol—Methyl ethyl ketone System¹⁾, Ethanol—Methyl ethyl ketone System²⁾, Methyl ethyl ketone—n-Propanol System 및 Methyl ethyl ketone—n-Butanol System의 x-y diagram은 Fig. 1과 같고, Methyl ethyl ketone—n-Propanol system과 Methyl ethyl ketone—n-Butanol System의 測定된 氣液平衡 data는 Table. 3과 같다.

Table 3. Vapor-liquid Equilibrium Data (1 atm.)

| M. E. K-n-Propanol System | | | M. E. K-n-Butanol System | | |
|---------------------------|---------------------------|-------|--------------------------|---------------------------|-------|
| $t^{\circ}\text{C.}$ | Mole fraction of M. E. K. | | $t^{\circ}\text{C.}$ | Mole fraction of M. E. K. | |
| | x | y | | x | y |
| 94.8 | 0.054 | 0.125 | 111.2 | 0.071 | 0.246 |
| 93.0 | 0.093 | 0.206 | 108.2 | 0.112 | 0.356 |
| 91.8 | 0.128 | 0.271 | 105.4 | 0.160 | 0.447 |
| 90.3 | 0.171 | 0.337 | 102.3 | 0.219 | 0.541 |
| 88.9 | 0.235 | 0.413 | 99.2 | 0.287 | 0.620 |
| 87.7 | 0.284 | 0.469 | 96.0 | 0.367 | 0.698 |
| 86.1 | 0.366 | 0.547 | 93.7 | 0.432 | 0.745 |
| 84.9 | 0.440 | 0.605 | 90.9 | 0.526 | 0.805 |
| 83.8 | 0.533 | 0.677 | 88.5 | 0.610 | 0.847 |
| 83.5 | 0.572 | 0.701 | 85.8 | 0.708 | 0.894 |
| 82.5 | 0.641 | 0.748 | 84.1 | 0.781 | 0.922 |
| 81.6 | 0.730 | 0.810 | 82.6 | 0.843 | 0.947 |
| 81.0 | 0.804 | 0.859 | 81.6 | 0.895 | 0.965 |
| 80.4 | 0.879 | 0.909 | 80.7 | 0.940 | 0.981 |
| 79.9 | 0.943 | 0.957 | — | — | — |

4. 考察

以上의 結果에서 보는 바와 같이 Methanol—Methyl ethyl ketone System¹⁾과 Ethanol—Methyl ethyl ketone

System²⁾은共沸混合物을形成하고, Methyl ethyl ketone-n-Propanol System과 Methyl ethyl ketone-n-Butanol System은共沸混合物을形成하지않는다.

그리고 이들의平衡data를 다음과 같이 여러가지方法으로検討해서 data가健全함을 알았으며, 또比揮發度의對數值와液組成과의關係를考察하여 이들사

다같이 $x_{\gamma_1}=\gamma_2$ (γ_1 과 γ_2 의값이 같은點에서의液組成)에서 거의一致한다.

그리고 Herington Consistency의 Test³⁾를本實驗data에對해서前報⁵⁾⁽⁶⁾⁽⁷⁾와같이 적용하여各系에對한液組成과 $\log\gamma_1/\gamma_2$ 를plot하면Fig. 4와같고, 그結果는Table. 4와같다.

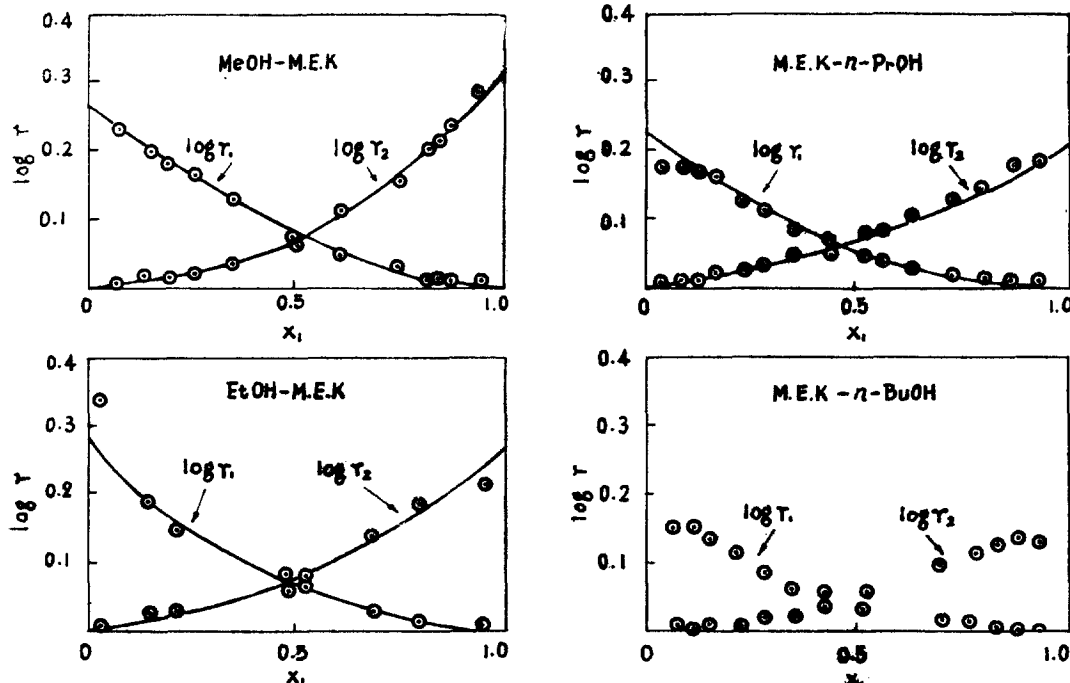


Fig. 2 Activity Coefficient vs. Composition for Methyl ethyl ketone-Alcohol Systems

의關係式을求하였다.

4-1 x-y data의健全性의檢討

活動度係數와液組成과의關係에 있어서液組成(x)에對한活動度係數(γ)를前報⁵⁾⁽⁶⁾⁽⁷⁾와같이計算하여plot하면Fig. 2와같고,各點이거의Smooth한Curve상에있음을알수있다. 여기에서증기압계산에使用한Antoine定數A.B.C는文獻值¹¹⁾⁽¹²⁾를利用하였다. 또液組成과Q函數⁴⁾와의關係를前報⁵⁾⁽⁶⁾⁽⁷⁾와같은方法으로plot하면Fig. 3과같고,液組成0.5부근을중심으로한거의Smooth한對稱型의曲線을나타내고있으며, 또Ohe¹³⁾의結果와마찬가지로各系에서Q函數의最大值가Fig. 2에서 $\log\gamma_1=\log\gamma_2$ 인값即 $\log\gamma$ 가

Table 4. Results of Herington's Consistency Test

| Systems | D | J | b. p. °C |
|----------------|------|-------|-------------|
| MeOH-M. E. K | 1.41 | 6.95 | 15.6 |
| EtOH-M. E. K | 1.85 | 0.51 | 5.6 |
| M. E. K-n-PrOH | 3.09 | 7.74 | 19.4 |
| M. E. K-n-BuOH | 2.45 | 15.90 | 37.4 |

여기에서4個의系中에서Ethanol-Methyl ethyl ketone系에서는 $D < (J+10)$, 나머지系는 $D < J$ 가成立된다.

이상과같이x-ydata를檢討한結果本實驗值가健全한값을나타냄을알수있다.

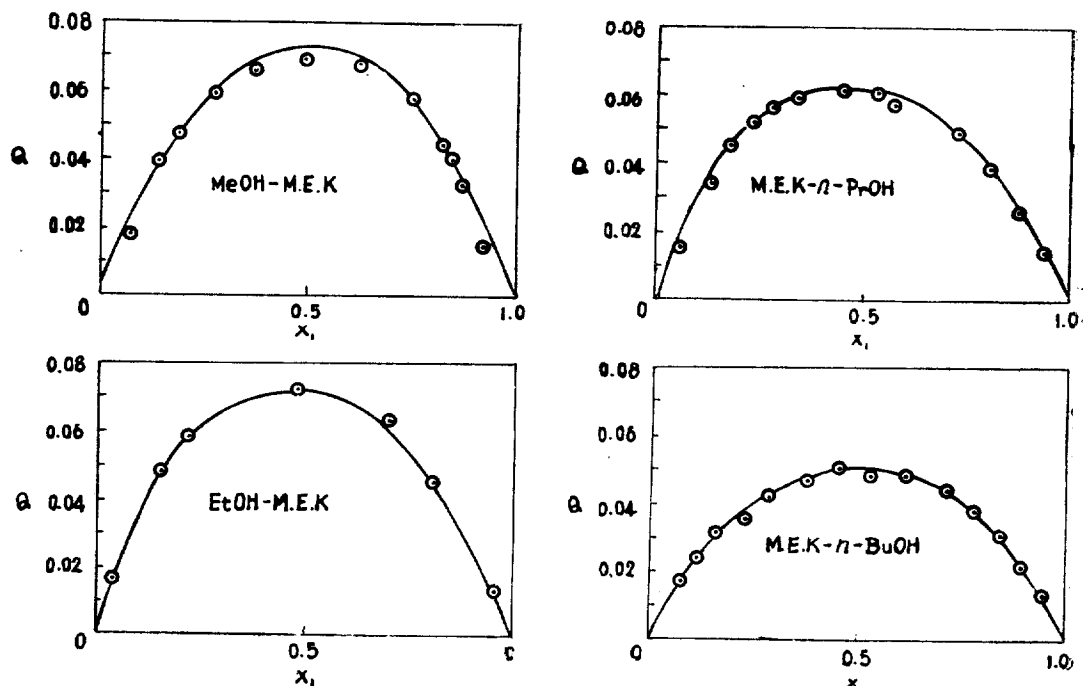


Fig. 3 Q-function vs. Composition for Methyl ethyl ketone-Alcohol Systems.

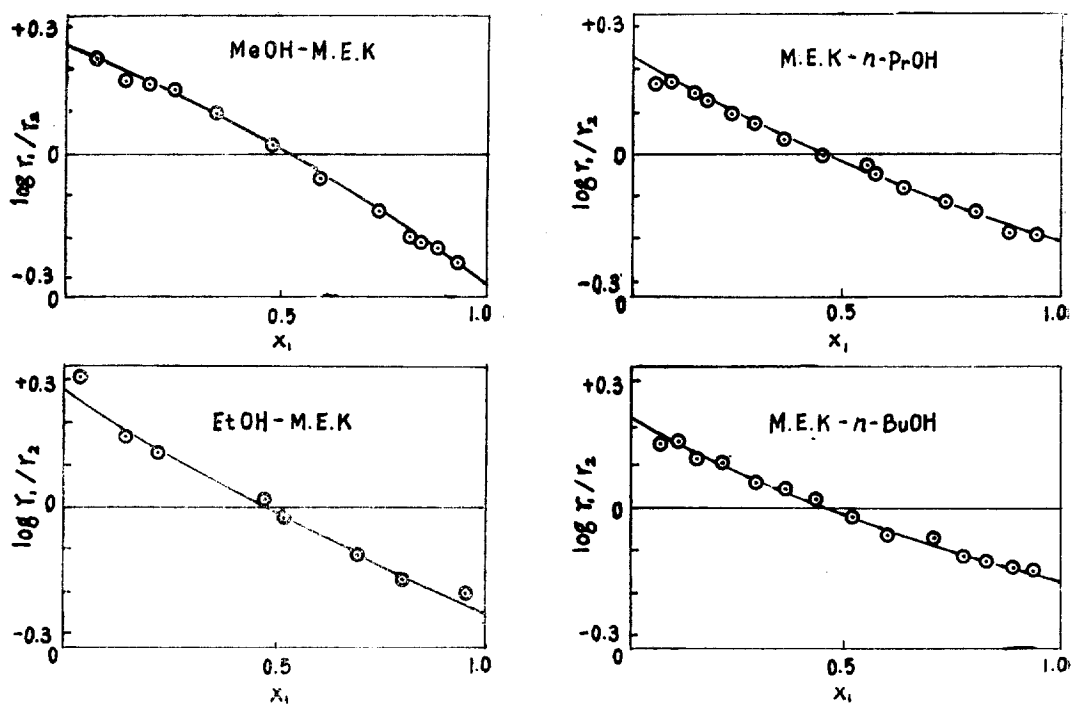


Fig. 4 Herington Test for Methyl ethyl ketone-Alcohol Systems

4-2 比揮發度의 對數值와 液組成과의 關係

氣液平衡 data를 推算하는 方法은 여러가지로 檢討되고 있으나, 아직 모든 系를 만족시키는 보편성이 있는 推算式은 발견되지 않고 있다.

比揮發度와 液組成의 關係로부터 Prahl¹⁴⁾과 Kretschmer⁵⁾는 3定數推算式을 發表한바 있고, 또 朴¹⁶⁾은 2定數推算式을 發表한바 있다. 本研究에서도 2成分系氣液平衡值를 測定해서 이를 系에서 전 조성에 적응하는 氣液平衡值를 求할 수 있는 2定數推算式을 決定하였다.

比揮發度는 다음의 (1)式으로 定義되며,

$$\alpha = y_1/x_1 \cdot x_2/y_2 \quad (1)$$

Komatsu¹⁷⁾는 比揮發度의 對數值와 液組成과의 사이에 直線관계가 성립되는 경우에 대해서 半理論的으로 증명했다.

本研究에서는 Methyl ethyl ketone—Alcohol 系에서 比揮發度의 對數值와 液組成과의 關係를 plot하면 Fig. 5와 같이 直線관계가 성립되고, 이들을 least

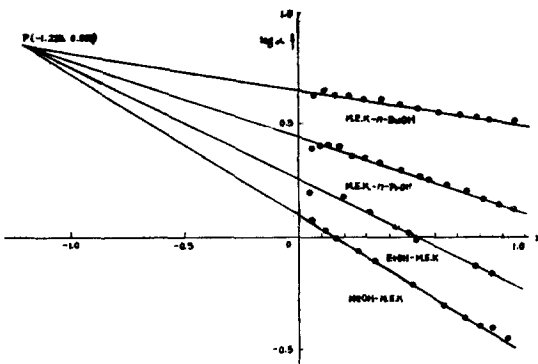


Fig. 5 $\log \alpha$ vs. x for Methyl ethyl ketone—Alcohol Systems

square method에 依해서 求한 4個의 直선이 평균으로 ± 0.021 의 범위에서 좌표 ($-1.225, 0.868$)에서 한점에 모이는 사실을 발견하고, 다음과 같은 2定數의 推算式을 求하였다.

Fig. 6에서와 같이 $\log \alpha$ 를 세로축 액조성을 가로축으로 하고 $\log \alpha$ vs. x 의 直선이 한점에 모인다면,

$$\begin{aligned} \tan \theta &= m \quad m < 0 \\ -m &= \frac{H - \log \alpha}{x + L} \end{aligned} \quad (2)$$

$$\therefore \log \alpha = H + m(x + L) \quad (3)$$

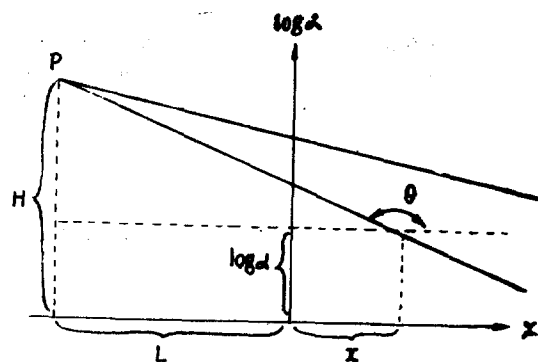


Fig. 6 $\log \alpha$ vs. x

(3)식과 같은 결과를 얻게된다.

Methyl ethyl ketone—Alcohol System에 대해서 Fig. 5에서 求한 H 와 L 의 値을 (3)식에 代入하면 다음과 (4)式과 같은 Methyl ethyl ketone—Alcohol System의 一般式을 얻을 수 있다.

$$\log \alpha = 0.868 + m(x + 1.225) \quad (4)$$

即 같은 Methyl ethyl ketone과 다른 Alcohol類들로 이루어지는 binary system에서는 直線의 slope (m)만 決定되면 $\log \alpha$ 와 x 와의 關係式을 얻을 수 있다.

各系에 對해서 Fig. 5에서 求한 slope를 (4)式에 代入해서 정리하면 다음의 (5), (6), (7) 및 (8)式과 같이 2定數直線式을 얻게 된다. 但 여기서 液組成 (x)은 Methyl ethyl ketone을 나타내고, α 는 alcohol에 對한 Methyl ethyl ketone의 比揮發度이다.

Methyl ethyl ketone—Methanol system;

$$\log \alpha = -0.628x + 0.099 \quad (5)$$

Methyl ethyl ketone—Ethanol system;

$$\log \alpha = -0.501x + 0.254 \quad (6)$$

Methyl ethyl ketone—n-Propanol system;

$$\log \alpha = -0.345x + 0.445 \quad (7)$$

Methyl ethyl ketone—n-Butanol system;

$$\log \alpha = -0.170x + 0.660 \quad (8)$$

여기서 slope를 求하기 為해서는 P點이 決定되어 있으므로 다른 한점의 정확한 氣液平衡 data만 測定하면 된다.

다음에 任意의 液組成에 對해서 (5), (6), (7) 및 (8)

式에서求한 α 값을 (1)式을 재정리해서 얻은 다음의 (9)式에代入해서任意의液組成에對한 y 값을求할 수 있다.

$$y = \frac{\alpha x}{1 + (\alpha - 1)x} \quad (9)$$

Table. 5 에서와 같이 测定值와 推算式(7)과 (8)式에

data를推算할수있는一般式을求했다. 그리고推算式으로부터計算한計算值와測定值를비교하여이들의평균오차범위가±0.002以內임을確認했다.

Nomenclature

P° : Vapor pressure of pure component corresponding

Table 5. Comparison with Empirical Equation

| M. E. K—n-Propanol System | | | | M. E. K—n-Butanol System | | | |
|---------------------------|----------|-----------|-----------|--------------------------|----------|-----------|-----------|
| x | y obs. | y calc. | Deviation | x | y obs. | y calc. | Deviation |
| 0.054 | 0.125 | 0.132 | -0.007 | 0.071 | 0.246 | 0.253 | -0.007 |
| 0.093 | 0.206 | 0.209 | -0.003 | 0.112 | 0.356 | 0.356 | 0.000 |
| 0.128 | 0.271 | 0.270 | +0.001 | 0.160 | 0.447 | 0.449 | -0.002 |
| 0.171 | 0.337 | 0.334 | +0.003 | 0.219 | 0.541 | 0.541 | 0.000 |
| 0.235 | 0.413 | 0.415 | -0.002 | 0.287 | 0.620 | 0.622 | -0.002 |
| 0.284 | 0.469 | 0.469 | 0.000 | 0.367 | 0.698 | 0.696 | +0.002 |
| 0.366 | 0.547 | 0.546 | +0.001 | 0.432 | 0.745 | 0.746 | -0.001 |
| 0.440 | 0.605 | 0.606 | -0.001 | 0.526 | 0.805 | 0.805 | 0.000 |
| 0.533 | 0.677 | 0.676 | +0.001 | 0.610 | 0.847 | 0.849 | -0.002 |
| 0.572 | 0.701 | 0.702 | -0.001 | 0.708 | 0.894 | 0.894 | 0.000 |
| 0.641 | 0.748 | 0.749 | -0.001 | 0.781 | 0.922 | 0.923 | -0.001 |
| 0.730 | 0.810 | 0.808 | +0.002 | 0.843 | 0.947 | 0.946 | +0.001 |
| 0.804 | 0.859 | 0.858 | +0.001 | 0.895 | 0.965 | 0.965 | 0.000 |
| 0.879 | 0.909 | 0.909 | 0.000 | 0.940 | 0.981 | 0.980 | +0.001 |
| 0.943 | 0.957 | 0.956 | +0.001 | | | | |
| Mean Deviation | | | ±0.002 | Mean Deviation | | | ±0.002 |

서求한計算值得比較하여, 全組成範圍에서 평균오차±0.002以內에서一致됨을보았다. 그러나일반적으로binary system에서各成分의稀薄溶液部分에서는平衡data를正確하게測定하기가困難하다.

本實驗에서도稀薄溶液部分의값은Fig. 5에서보는바와같이直線으로부터若干벗어남을免치못하였다.

5. 結論

以上의 Methanol—Methyl ethyl ketone, Ethanol—Methyl ethyl ketone, Methyl ethyl ketone—n-Propanol 및 Methyl ethyl ketone—n-Butanol system의 4個의定壓氣液平衡實驗에對해서 다음과 같은結論을얻었다.

(1) 이들의氣液平衡data를Herington의consistency test等여러가지方法으로檢討한結果, 平衡data가健全함을알았다.

(2) 또이들system에있어서比揮發度의對數值와液組成과의사이에는直線關係가成立되고이들直線의연장선이한點에모이는것을발견하고이關係로부터Methyl ethyl ketone—Alcohol system의氣液平衡

to observed boiling point

x : Mole fraction in liquid phase

y : Mole fraction in vapor phase

α : Relative volatility

γ : Activity coefficient in liquid phase ($=\pi y/P^\circ x$)

π : Total pressure of system

MeOH : Methanol, EtOH ; Ethanol

n-PrOH : n-Propanol, n-BuOH ; n-Butanol

M. E. K : Methyl ethyl ketone

Subscripts

1, 2 : Component identity

References

- Privott, W. J., Paul, D. R., Jolls K. R., Schoenborn, E. M.; *J. Chem. Eng. Data.* 11 (3), 331 (1966).
- Hellwig, L. R. and Winkle, M. V.; *Ind. Eng. Chem.* 45, 625 (1953).
- Herington, E. F. G.; *J. Inst. Petrol.* 37, 457

- (1951).
- 4) Redlich, O. and Kister, A. T.; *Ind. Eng. Chem.* 40, 345 (1948).
- 5) Park, W.K., Bae, H.K.; *J. KIChE.* 8, 221 (1970).
- 6) Park, W.K.; *J. KIChE.* 9, 121 (1971).
- 7) Park, W.K.; *J. KIChE.* 9, 181 (1971).
- 8) Washburn, R.; *J. Am. Chem. Soc.* 41, 729 (1919).
- 9) 火田, 杉山, 小林, et. al. ; “化學實驗法” 東京化學同人 (1965).
- 10) Perry, J.H.; “Chemical Engineer's Handbook” 4th. Ed. section 3. McGraw-Mill Book Co. New York (1963).
- 11) 日本化學工學協會編; 物性定數 3集 p 5~7 日本丸善 (1965).
- 12) Holmes, M.J. and Winkle, M.V.; *Ind. Eng. Chem.* 62, 21 (1970).
- 13) Ohe, S.; *Chem. Eng. Japan.* 31, 293 (1967).
- 14) Prahl, W.M.; *Ind. Eng. Chem.* 43, 1767 (1951).
- 15) Kretschmer, C.B.; *J. Am. Chem. Soc.* 71(5) 1795 (1949).
- 16) Park, W.K.; Ph.D. Thesis. Inha Univ. (1972).
- 17) Komatsu, H. and Hirata, M.; *Kogyo Kagaku Zasshi.* 72, 1419 (1969).

